

## Попутное отражение света от движущейся неоднородности

Н. Н. Розанов<sup>1)\*</sup>, Н. В. Высотина, А. Н. Шацев

ФГУП НПК “Государственный оптический институт им. С.И. Вавилова”, 199034 С.-Петербург, Россия

\*Санкт-Петербургский государственный университет информационных технологий, механики и оптики  
197101 Санкт-Петербург, Россия

Поступила в редакцию 13 декабря 2010 г.

Проведен анализ отражения монохроматического и квазимонохроматического импульсного светового излучения, падающего на движущуюся неоднородность оптических характеристик среды с плазменным типом частотной дисперсии. Скорость  $V$  движения неоднородности, наводимой в среде интенсивным лазерным импульсом, варьируется за счет перестройки его несущей частоты. Показано, что обычный режим встречного отражения, когда импульс отраженного излучения движется в направлении, противоположном направлению движения падающего излучения, реализуется, только если скорость  $V$  меньше критического значения  $V_{\min}$ , зависящего от несущей частоты импульса падающего излучения. Обнаружено, что в определенном интервале скоростей  $V_{\min} < V < V_{\max}$  отраженное излучение движется в ту же сторону, что и падающее (эффект попутного отражения). При этом импульс отраженного излучения постепенно отстает от быстро убегающей неоднородности. При  $V_{\max} < V < c$ , где  $c$  – скорость света в вакууме, групповая скорость импульса падающего излучения меньше скорости движения неоднородности, так что отражения не происходит. Аналитическое рассмотрение подтверждено численным моделированием.

Параметрический эффект Доплера [1] может быть реализован в неподвижной нелинейной среде за счет движения в ней неоднородности, индуцированной распространением солитона [2] или интенсивного лазерного импульса [3–7] (см. также аналогии с астрофизическими черными дырами [8, 9]). В среде с дисперсией частота отраженного от движущейся неоднородности излучения определяется нелинейным уравнением, которое может иметь одно (обычный эффект Доплера), несколько (сложный эффект Доплера [10]) или ни одного [6] решения. В последнем случае характер отражения излучения заранее не ясен, и его определение служит основной задачей данного сообщения.

Как и в [3–7], рассматриваем распространение в неподвижной изотропной среде слабоинтенсивных плоских электромагнитных волн вдоль оси  $z$  (в прямом и обратном направлениях). По среде движется локализованная неоднородность, например, показателя преломления, с неизменным профилем и постоянной скоростью  $V$ . Пусть падающее излучение является монохроматическим с частотой  $\omega_i$  и определяемым ею вещественным волновым числом  $k_i$  (режимы плоских однородных волн). Для определенности полагаем, что в существенной спектральной области диэлектрическая  $\epsilon$  и магнитная  $\mu$  проницаемости положительны, тогда направления волнового вектора и

вектора Пойнтинга (потока энергии) совпадают. Отраженное излучение характеризуется частотой  $\omega_r$  и волновым числом  $k_r$ . Связь волнового числа с частотой дается стандартным дисперсионным соотношением  $k^2(\omega) = (\omega/c)^2 \epsilon(\omega) \mu(\omega)$ , где  $c$  – скорость света в вакууме. При нахождении отсюда волнового числа возникает вопрос о выборе ветви квадратного корня. Для падающей волны знак корня определяется заданием направления распространения рассматриваемой волны, совпадающим с направлением среднего за оптический период потока электромагнитной энергии (вектора Пойнтинга). Используем комплексную форму записи волн вида  $\exp(ikz - i\omega t)$ , где  $t$  – время. Тогда при распространении падающего излучения в положительном направлении оси  $z$

$$k_i = \frac{\omega_i}{c} \sqrt{\epsilon(\omega_i) \mu(\omega_i)} > 0. \quad (1)$$

Для отраженной волны имеет место аналогичное соотношение с заменой  $\omega_i \rightarrow \omega_r$ , но знак волнового числа  $k_r$  мы пока не будем фиксировать. Соответственно, в области однородной среды ( $z \rightarrow -\infty$ ) компоненты полей имеют вид

$$A \exp(ik_i z - i\omega_i t) + B \exp(ik_r z - i\omega_r t). \quad (2)$$

Из условий непрерывности на движущемся переднем фронте неоднородности с координатой  $z = Vt$  следует, в частности, что показатели экспонент в (2) должны совпадать в любой момент времени, так что

$$k_i V - \omega_i = k_r V - \omega_r. \quad (3)$$

<sup>1)</sup> e-mail: nrosanov@yahoo.com

Это соотношение служит уравнением для определения частоты отраженной волны, но в нем пока не определенным остается знак волнового числа отраженной волны. Как мы увидим, в зависимости от условий реализуются два режима: режим встречного отражения ( $k_r < 0$ ), когда (3) принимает форму (подкоренные выражения считаются положительными)

$$\left(1 - \frac{V}{c} \sqrt{\varepsilon_i \mu_i}\right) \omega_i = \left(1 + \frac{V}{c} \sqrt{\varepsilon_r \mu_r}\right) \omega_r, \quad (4)$$

и режим попутного отражения ( $k_r > 0$ ), для которого

$$\left(1 - \frac{V}{c} \sqrt{\varepsilon_i \mu_i}\right) \omega_i = \left(1 - \frac{V}{c} \sqrt{\varepsilon_r \mu_r}\right) \omega_r. \quad (5)$$

Отметим, что частота  $\omega_r$  определяется не зависимо от вида неоднородности как для монохроматического [4–6], так и для квазимохроматического (импульсного) излучений [7], а сам эффект отражения вызван градиентом неоднородности, не учитываемым в стандартных приближениях медленно меняющихся амплитуд и одностороннего распространения.

**Плазменная дисперсия.** Хотя характер режимов отражения не зависит от конкретного вида частотной зависимости  $\varepsilon$  и  $\mu$ , удобно проиллюстрировать эти режимы для плазменного типа дисперсии как наиболее универсального для высоких частот и оправданного даже за рамками макроскопической электродинамики [11]. Наиболее важным здесь свойством среды служит наличие разрешенной и запрещенной зон для распространения излучения. Итак, рассмотрим немагнитную бесстолкновительную плазму в области прозрачности:

$$\varepsilon(\omega) = 1 - \omega_p^2/\omega^2, \quad \mu = 1, \quad \omega^2 > \omega_p^2, \quad (6)$$

где  $\omega_p^2 = 4\pi Ne^2/m$  – плазменная частота,  $N$  – концентрация электронов,  $e$  и  $m$  – их заряд и масса. При этом фазовая и групповая скорости, а также параметр квадратичной дисперсии имеют вид

$$\frac{V_{ph}}{c} = \left(1 - \frac{\omega_p^2}{\omega^2}\right)^{-1/2} > 1, \quad \frac{V_{gr}}{c} = \left(1 - \frac{\omega_p^2}{\omega^2}\right)^{1/2} < 1,$$

$$\frac{d^2 k}{d\omega^2} = -\frac{\omega_p^2}{c} (\omega^2 - \omega_p^2)^{-3/2}. \quad (7)$$

Для случая однородных волн не зависимо от выбора знака  $k_r$  получаем для частоты отраженной волны

$$\omega_r = \frac{1}{1 - \frac{V^2}{c^2}} \left[ \left(1 + \frac{V^2}{c^2}\right) \omega_i - 2 \frac{V}{c} \sqrt{\omega_i^2 - \omega_p^2} \right],$$

$$\omega_{i,r}^2 > \omega_p^2. \quad (8)$$

**Режим встречного отражения** ( $k_r < 0$ ). Этот режим, детально проанализированный в [4–6], существует, если скорость движения неоднородности меньше критического значения, зависящего от частоты падающего излучения:

$$\frac{V}{c} < \frac{V_{\min}}{c} = \sqrt{\frac{\omega_i - \omega_p}{\omega_i + \omega_p}}. \quad (9)$$

Это зона I на изображенной на рис.1 области параметров. При фиксированной частоте падающего

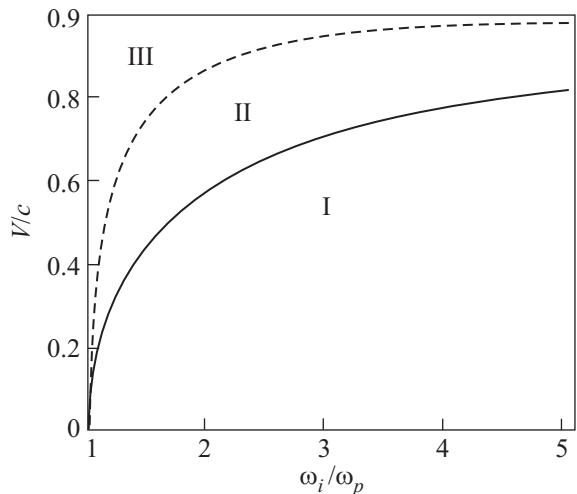


Рис.1. Разделение области параметров – скорости движения неоднородности  $V$  и частоты падающего излучения  $\omega_i$  – на зоны, отвечающие различным режимам отражения: I – режим встречного отражения, II – режим попутного отражения, III – режим отсутствия отражения

излучения при увеличении частоты  $\omega_r$  в интервале  $\omega_p \leq \omega_r < +\infty$  функция  $V(\omega_r)$  монотонно убывает от максимального значения  $V_{\min}$  при  $\omega_r = \omega_p$  до  $V_{\infty} = -c$  при  $\omega_r \rightarrow \infty$ , обращаясь в нуль при  $\omega_r = \omega_i$ . Групповая скорость для отраженной волны в этом режиме отрицательна ввиду движения этой волны в сторону отрицательных значений оси  $z$ . При фиксированной скорости движения неоднородности и увеличении частоты падающего излучения  $\omega_i$  частота отраженной волны  $\omega_r$  монотонно возрастает.

**Режим попутного отражения.** Если скорость движения неоднородности превышает приведенное в (9) критическое значение,  $V > V_{\min}$ , то режим встречного движения становится невозможным (уравнение (4) не имеет решений, и, соответственно, условия сшивания на фронте неоднородности для этого режима не выполняются). Рассмотрим возможность реа-

лизации при этом режима попутного отражения. Для него из (5) получим

$$\omega_i - \frac{V}{c} \sqrt{\omega_p^2 - \omega_i^2} = \omega_r - \frac{V}{c} \sqrt{\omega_p^2 - \omega_r^2}, \quad \omega_{ir}^2 > \omega_p^2. \quad (10)$$

Из (10) следует

$$V = \frac{\omega_i - \omega_r}{\sqrt{\omega_i^2 - \omega_p^2} - \sqrt{\omega_r^2 - \omega_p^2}}. \quad (11)$$

Этот режим отвечает зоне II рис.1. Общее для зон I и II выражение групповой скорости для отраженной волны такое:

$$V_g = \text{sign}(V - V_{\min}) \sqrt{1 - \frac{\omega_p^2}{\omega_r^2}}, \quad \omega_{ir}^2 > \omega_p^2. \quad (12)$$

При фиксированной частоте падающей волны и увеличении скорости  $V$  частота отраженной волны в зоне II монотонно возрастает, достигая при

$$\frac{V_{\max}}{c} = \sqrt{1 - \frac{\omega_p^2}{\omega_i^2}} \quad (13)$$

значения  $\omega_r = \omega_i$ . При этом групповая скорость для отраженного излучения возрастает от 0 до  $V$  — скорости движения неоднородности. Соответственно, режим попутного отражения реализуется в диапазоне (см. рис.1)

$$V_{\min} < V < V_{\max}. \quad (14)$$

На границе между режимами встречного и попутного отражений, то есть при  $V = V_{\min}$ , частота отраженного излучения отвечает границе между разрешенной и запрещенной зонами:  $\omega_r = \omega_p$ , и при этом параметр квадратичной дисперсии в (7) обращается в бесконечность, так что импульс с такой центральной частотой и узким спектром быстро расплывается.

При дальнейшем увеличении скорости неоднородности  $V_{\max} < V < c$  эта скорость уже превышает групповую скорость для частоты падающего излучения. Тогда неоднородность убегает от “медленного” падающего импульса, отражения основной части импульса не происходит, чем и объясняется отсутствие решений уравнения (3) в этом случае (для монохроматического излучения такой режим не имеет физического смысла). При  $V > c$  рассматриваемые режимы неустойчивы, так как скорость движения неоднородности превышает фазовую скорость для высокочастотного излучения, так что даже в отсутствие падающего излучения в среде возникает излучение Вавилова–Черенкова.

В представленном выше анализе не использовался явный вид профиля неоднородности, он важен для нахождения не частот, а амплитуд отраженных неоднородностью волн [4–6]. Отметим, что в обычном приближении медленно меняющихся амплитуд [12] анализируемое отражение и рассматриваемые нами эффекты отсутствуют, так как они вызваны градиентом неоднородности.

**Численный расчет.** Решаем одномерное волновое уравнение в вакууме и плазме:

$$\frac{\partial^2 E}{\partial z^2} - \frac{4\pi}{c^2} \frac{\partial j}{\partial t} - \frac{1}{c^2} \frac{\partial^2 E}{\partial t^2} = 0, \quad (15)$$

и уравнение Друде для плотности электрического тока  $j$ :

$$\frac{\partial j}{\partial t} + \gamma j = \frac{\omega_p^2}{4\pi} E, \quad (16)$$

где  $\gamma$  — частота столкновений электронов. В вакууме, где концентрация электронов  $N = 0$ , к границе среды с концентрацией вида

$$N = N_0 + \delta N(z - Vt) \quad (17)$$

распространяется импульс с электрическим полем

$$E_i = \exp\left(-\frac{(z - Vt - z_0)^2}{w_i^2}\right) \cos\left(\frac{\omega_i}{c}(z - Vt)\right). \quad (18)$$

А точнее, обеспечивается нулевое значение поля в среде в начальный момент времени. Граница между вакуумом и средой (точка  $z = z_b$ ) характеризуется шириной размытия  $w_b$ :

$$N_0(z) = \frac{N^{(0)}}{2} (1 + \text{th}[(z - z_b)/w_b]). \quad (19)$$

Профиль движущейся неоднородности  $\delta N$  близок к прямоугольному с полушириной  $w$  (супергауссова функция высокой степени). В расчетах концентрация нормируется на величину  $N_c = m\omega_i^2/4\pi e^2$ , а координата домножается на волновое число падающего излучения в вакууме,  $k_i = \omega_i/c$ .

На рис.2 приведены два примера расчета, отвечающие режиму встречного отражения ( $V/c = 0.2$ , зона I) и попутного отражения ( $V/c = 0.3$ , зона II). Расчеты полностью согласуются с изложенным выше аналитическим описанием. Здесь они представлены для сравнительно большой амплитуды неоднородности, так как в противном случае отраженное излучение слабое, хотя траектория отраженного импульса имеет тот же характер. Расчеты показывают, что учет слабого поглощения не меняет основного результата.

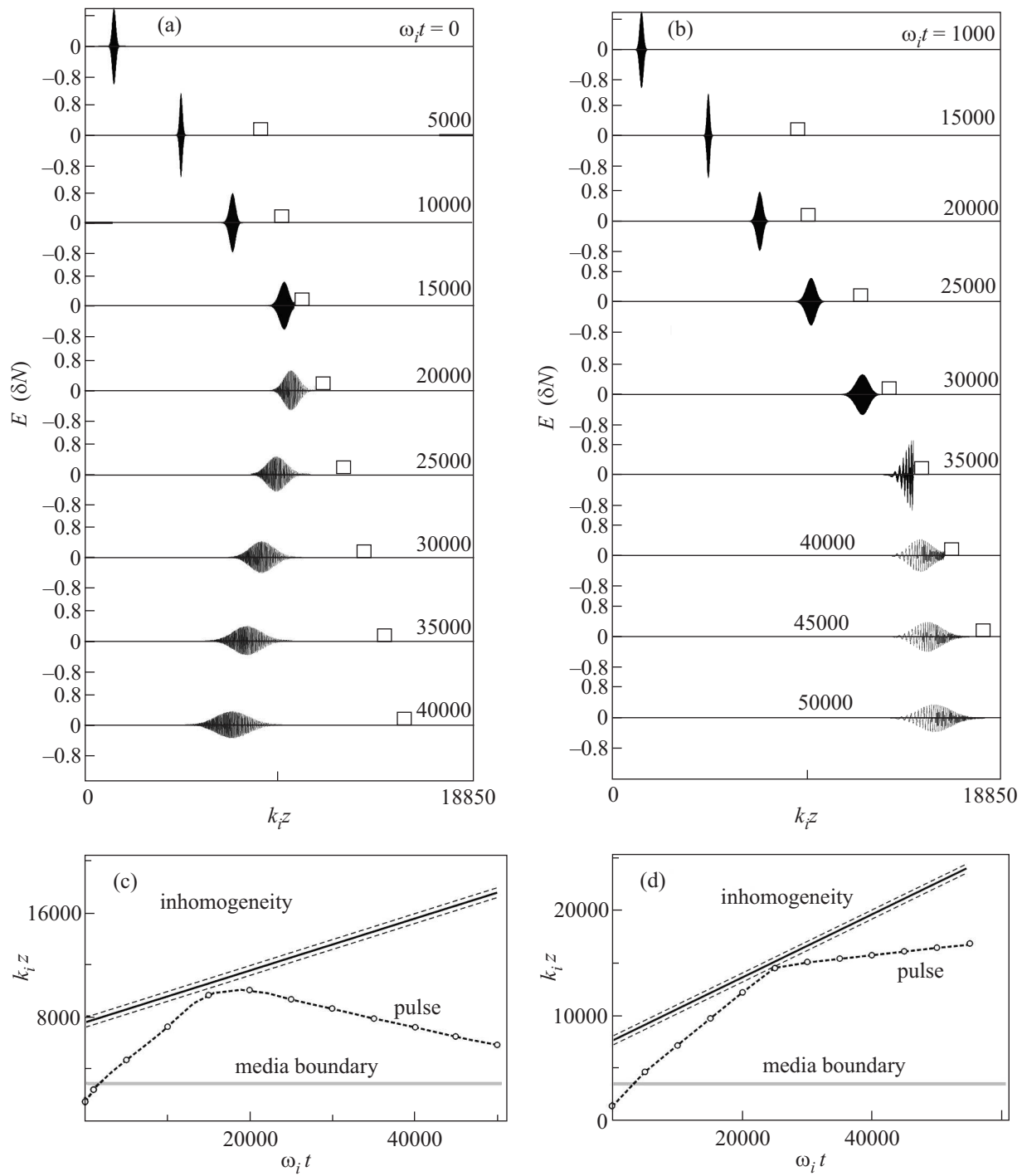


Рис.2. Столкновение импульса излучения с движущейся неоднородностью среды; (а), (б) – продольное распределение напряженности электрического поля  $E$  и близкий к прямоугольному профиль неоднородности в различные моменты времени  $t$ , граница вакуума и среды показана вертикальной прямой; (с), (д) – прямые показывают траекторию движения неоднородности (сплошная линия – центр неоднородности, штриховые прямые – ее края), а пунктирные кривые – траектории падающего и отраженного импульсов, горизонтальная прямая – граница между вакуумом и средой. Параметры:  $\gamma = 0$ ,  $N^{(0)}/N_c = 0.75$ ,  $\delta N/N_c = 0.25$ ,  $k_i w_i = 20$ ,  $k_i w = 60$ ,  $k_i w_b = 0.01$ ,  $V/c = 0.2$  (а), (с) и 0.3 (б), (д)

Таким образом, последовательное рассмотрение отражения электромагнитного излучения от движу-

щейся неоднородности требует перехода от монохроматического излучения к квазимохроматическо-

му. Это позволяет выявить невозможный для света в вакууме режим попутного отражения и объяснить отсутствие режима монохроматического отражения при сравнительно высоких скоростях движения неоднородности. Природа режима попутного отражения излучения кинематическая и объясняется тем, что излучение заимствует у среды с дисперсией определенные корпускулярные свойства. Поясним это следующей аналогией. Сопоставим падающее излучение отдельным не взаимодействующим друг с другом классическим частицам, летящим с постоянной скоростью  $v$  вдоль оси  $z$  (для простоты считаем все скорости нерелятивистскими). Эти частицы налетают на массивное зеркало, движущееся с заданной скоростью  $V$ . Скорость упруго отразившихся частиц  $2V - v$  (так как в системе отсчета, связанной с зеркалом, скорость падающих и отраженных частиц равна, соответственно,  $v - V$  и  $V - v$ , что и дает приведенное выражение для скорости в лабораторной системе координат). Отсюда следует, что при  $V < V_{\min}$ , где  $V_{\min} = v/2$ , реализуется встречное движение отраженных частиц (режим встречного отражения). При  $V_{\min} < V < V_{\max}$ , где  $V_{\max} = v$ , отраженные частицы летят в том же направлении, что и падающие (режим попутного отражения), а при  $V > V_{\max}$  отражения не происходит. Отличия классических частиц от волновых пакетов заключаются в том, что для последних в общем случае присутствует как отражение, так и прохождение, и импульс света всегда содержит высокочастотные составляющие, которые будут отражаться нормально.

Выше мы использовали плазменный закон дисперсии среды. Существенным здесь является наличие разрешенной ( $\omega^2 > \omega_p^2$ ) и запрещенной ( $\omega^2 < \omega_p^2$ ) зон для распространения излучения, при-

чем режим попутного отражения возникает, когда сдвинутая из-за эффекта Доплера частота отраженного излучения приближается к границе зон. Зонная структура типична и для фотонных кристаллов и метаматериалов с периодической пространственной модуляцией показателя преломления [13]. С учетом прогресса в изготовлении этих искусственных материалов представляется возможным экспериментальное наблюдение в них аналогичных эффектов.

Авторы благодарны Ю.С. Кившарю за полезные обсуждения. Работа входит в план грантов Российского фонда фундаментальных исследований № 09-02-12129-офи\_м и Министерства образования и науки РНП № 2.1.1/9824.

1. В. А. Михельсон, Журн. Русск. физ.-хим. об-ва, часть физич. **31**, 119 (1899).
2. В. И. Рупасов, Квант. электрон. **9**, 2127 (1982).
3. Н. Н. Розанов, Письма в ЖЭТФ **88**, 577 (2008).
4. Н. Н. Розанов, ЖЭТФ **135**, 154 (2009).
5. Н. Н. Розанов, Опт. и спектр. **106**, 487 (2009).
6. Н. Н. Розанов, Опт. и спектр. **108**, 668 (2010).
7. Н. Н. Розанов, Опт. и спектр. **109**, 1200 (2010).
8. T. G. Philbin, C. Kuklewicz, S. Robertson et al., Science **319**, 1367 (2008).
9. S. Robertson and U. Leonhardt, Phys. Rev. A **81**, 063835 (2010).
10. И. М. Франк, Изв. АН СССР **6**, 3 (1942).
11. Л. Д. Ландау, Е. М. Либниц, Электродинамика сплошных сред, М.: Наука, 1982.
12. V. E. Lobanov and A. P. Sukhorukov, Phys. Rev. A **82**, 033809 (2010).
13. Nonlinearities in Periodic Structures and Metamaterials. Eds. C. Denz, S. Flach, and Yu. S. Kivshar, Heidelberg: Springer, 2010.